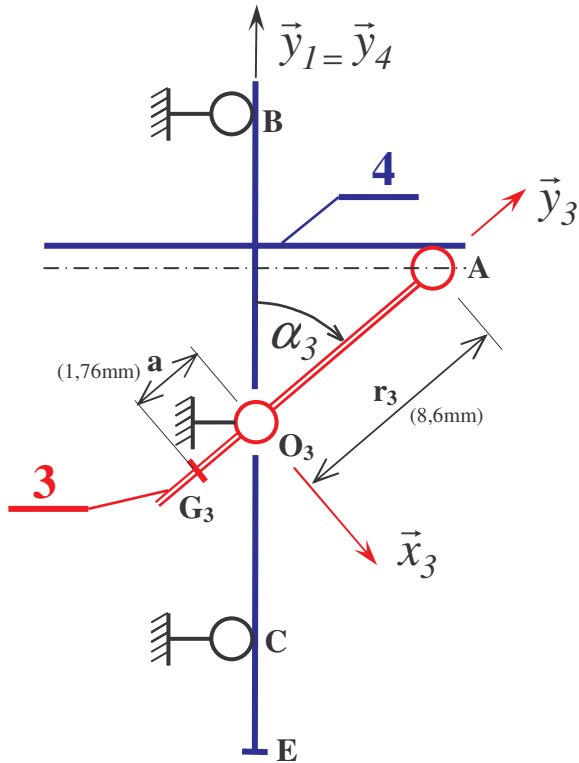


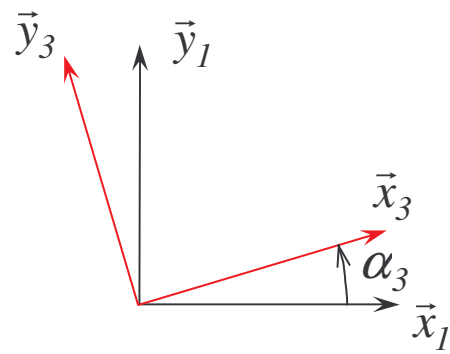


II ETUDE CINEMATIQUE

II-1 Schéma plan paramétré



	\vec{x}_3	\vec{y}_3
\vec{x}_1	$C\alpha_3$	$-S\alpha_3$
\vec{y}_1	$S\alpha_3$	$C\alpha_3$



Calcul des vitesses de rotation

$$\alpha'_2 = \frac{25500 \cdot 2\pi}{60} = 2675,6 \text{ rad} \cdot \text{s}^{-1}$$

$$\frac{\alpha'_3}{\alpha'_2} = \frac{-r_2}{r_3} \Rightarrow \alpha'_3 = \frac{-2675,5 \cdot 2,42}{20,58} = -314,6 \text{ rad} \cdot \text{s}^{-1}$$

La variable de sortie sera la vitesse du coulisseau par rapport au bâti.

II-2 Calcul du torseur cinématique de 3/1

$$\vec{\Omega}_1^3 = \alpha'_3 \vec{z}$$

d'où
$$\{V_I^3\} = \left\{ \begin{array}{c} \alpha'_3 \vec{z} \\ \vec{0} \end{array} \right\}_{O_3}$$

Calcul du torseur cinématique du coulisseau 4/1

Liaison glissière de 4/0 $\Rightarrow \overline{\Omega_1^4} = \vec{0}$

$$\overline{V(A,4/I)} = \overline{V(A,4/3)} + \overline{V(A,3/I)}$$

- avec $\cdot \overline{V(A,4/3)}$ parallèle à \vec{x}_1 compte tenu de la liaison ponctuelle 4/3 de normale (A, \vec{y}_1)
- $\cdot \overline{V(A,3/I)}$ parallèle à \vec{y}_1 compte tenu de la liaison glissière 4/1 de direction \vec{y}_1
- La liaison pivot en O_3 permet d'écrire :

$$\overline{V(A,3/I)} = \overline{\Omega_1^3} \wedge \overline{O_3A} = \alpha_3' \vec{z} \wedge r_3 \vec{y}_3 = -\alpha_3' r_3 \vec{x}_3$$

En projetant sur \vec{y}_1 on obtient :

$$\overline{V(A,4/I)} \cdot \vec{y}_1 = \overline{V(A,3/I)} \cdot \vec{y}_1 = -\alpha_3' r_3 \vec{x}_3 \cdot \vec{y}_1 = -\alpha_3' r_3 \sin(\alpha_3)$$

$$\Rightarrow \overline{V(A,4/I)} = -\alpha_3' r_3 \sin \alpha_3 \cdot \vec{y}_1$$

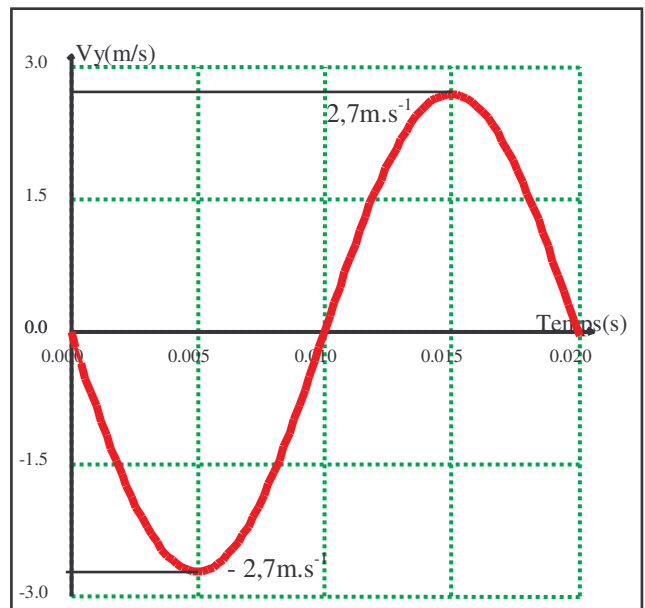
d'où
$$\left\{ V_1^4 \right\} = \left\{ \begin{array}{c} \vec{0} \\ -\alpha_3' r_3 \sin \alpha_3 \cdot \vec{y}_1 \end{array} \right\}_{\forall le pt}$$

Application numérique :

$$-\alpha_3' r_3 = -2,7 m.s^{-1}$$

$$\Rightarrow \overline{V(A,4/I)} = -2,7 \sin \alpha_3 \cdot \vec{y}_1$$

Conforme au relevé Mécaplan ci-contre.



Accélération avec $\alpha_3' = Cste$

$$\begin{aligned} \overline{\Gamma(A,4/I)} &= \frac{d(\overline{V(A,4/I)})}{dt / B_1} \\ &= \frac{d[-\alpha_3' r_3 \sin \alpha_3 \cdot \vec{y}_1]}{dt / B_1} = -\alpha_3'^2 r_3 \cos \alpha_3 \cdot \vec{y}_1 \end{aligned}$$

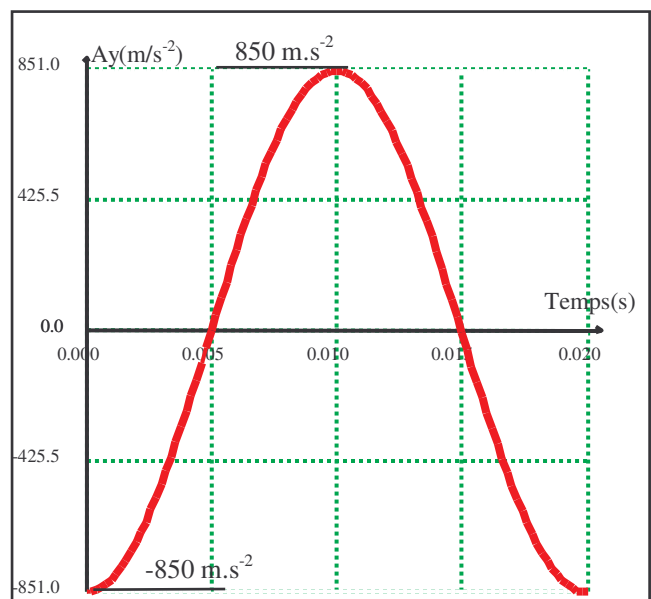
$$\Rightarrow \overline{\Gamma(A,4/I)} = -\alpha_3'^2 r_3 \cos \alpha_3 \cdot \vec{y}_1$$

Application numérique :

$$\alpha_3'^2 r_3 = 314^2 \cdot 8,6 = 849370 mm.s^{-2}$$

$$\text{Soit } \alpha_3'^2 r_3 = 850 m.s^{-2}$$

$$\overline{\Gamma(A,4/I)} = -850 \cos \alpha_3 \cdot \vec{y}_1$$



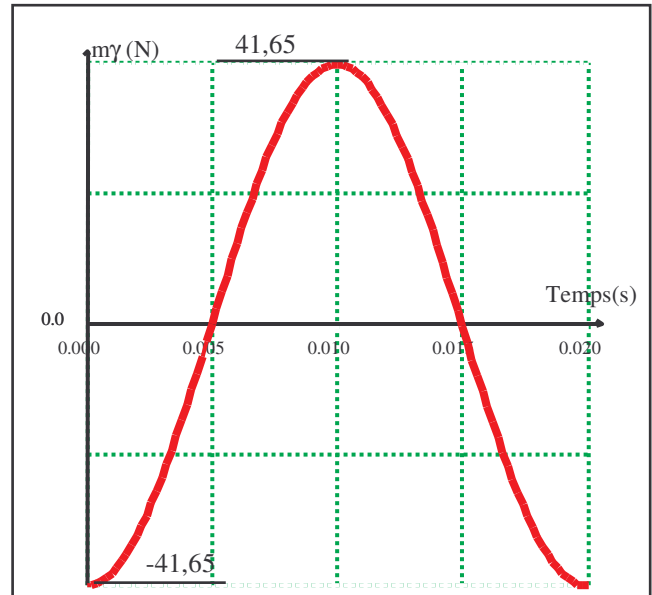
Conforme au relevé Mécaplan ci-contre

II-2 Evolution du produit « $m\gamma$ »

On en déduit la courbe

$$m\gamma = -850 \cdot 0,049 \cos \alpha_3$$

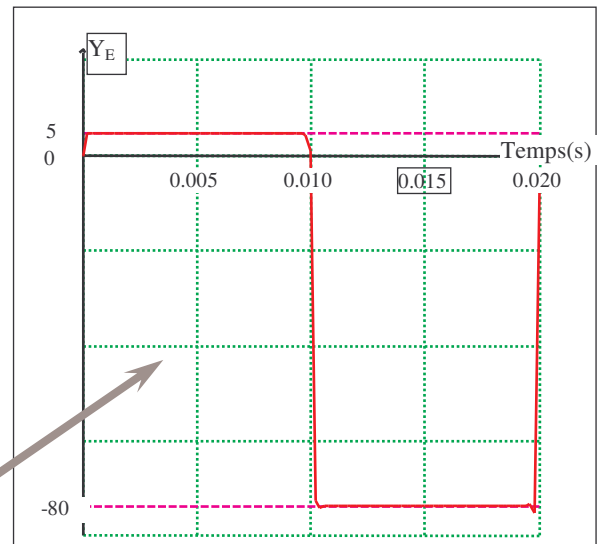
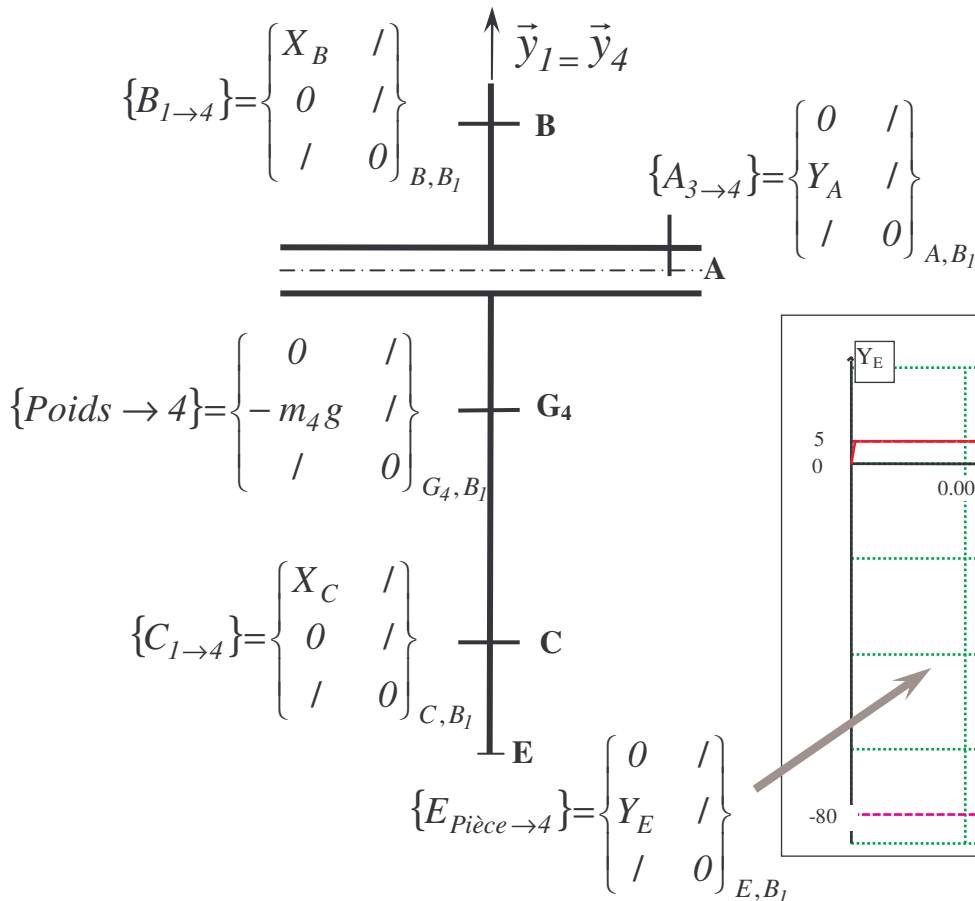
$$m\gamma = -41,65 \cos \alpha_3$$



II ETUDE DYNAMIQUE

III-1 On isole le coulisseau-lame (4).

↪ Bilan des a.m. extérieures



↪ P.F.D.

Théorème de la résultante dynamique :

$$X_B + X_C = 0$$

$$Y_A + Y_E - m_4 g = -m_4 \cdot \alpha_3'^2 r_3 \cos \alpha_3$$

d'où

$$Y_A = -Y_E + m_4 g - m_4 \cdot \alpha_3'^2 r_3 \cos \alpha_3$$

☞ **Application numérique :**

$$Y_A = -Y_E + 0,5 - 41,6 \cos \alpha_3$$

Cas de la descente

$$Y_A = -5 + 0,5 - 41,6 \cos \alpha_3$$

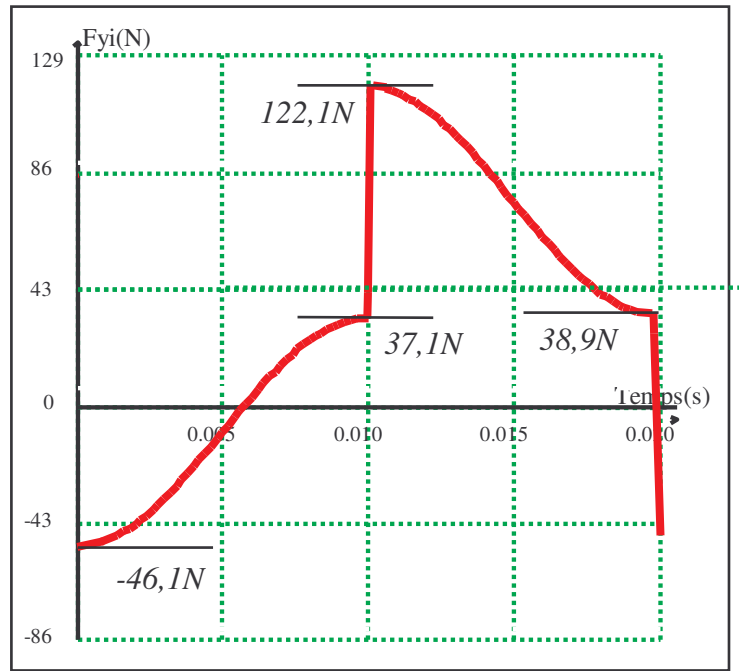
t	0		10 ms
α_3	0	$-\pi/2$	$-\pi$
Y_A	-46,1N	-4,5N	37,1N

Cas de la montée :

$$Y_A = 80 + 0,5 - 41,6 \cos \alpha_3$$

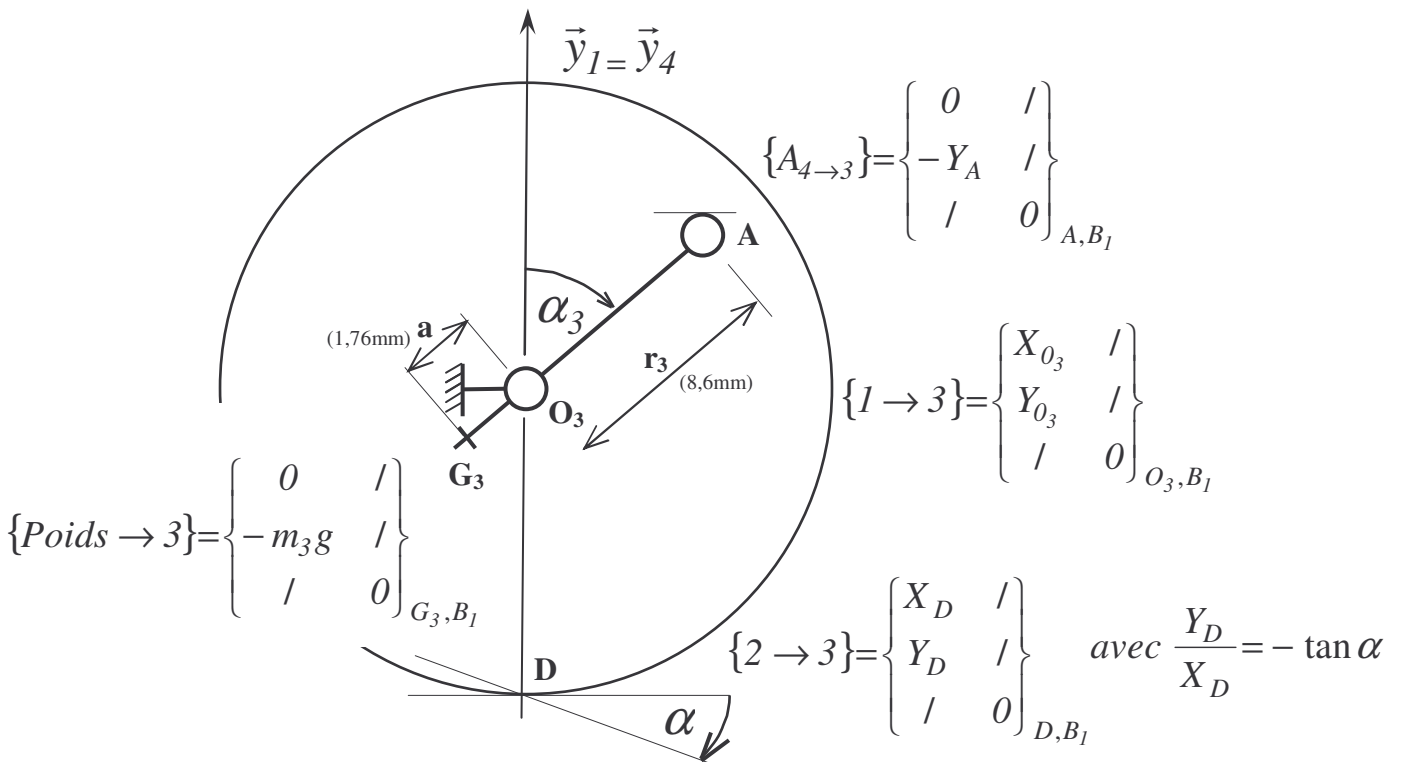
t	10 ms		20 ms
α_3	$-\pi$	$-3\pi/2$	-2π
Y_A	122,1N	80,5N	38,9N

Conforme au relevé Mécaplan ci-contre



III-2 ☞ On isole la roue (3).

☞ **Bilan des a.m. extérieures**



On exprime les torseurs des actions extérieures en O_3

$$\overrightarrow{M_{O_3} 4 \rightarrow 3} = \overrightarrow{O_3 A} \wedge \overrightarrow{R 4 \rightarrow 3} = r_3 \vec{y}_3 \wedge (-Y_A) \vec{y}_1 = r_3 Y_A \sin \alpha_3 \vec{z}$$

$$\overrightarrow{M_{O_3} 2 \rightarrow 3} = \overrightarrow{O_3 D} \wedge \overrightarrow{R 2 \rightarrow 3} = -R_3 \vec{y}_1 \wedge (X_D \vec{x}_1 + Y_D \vec{y}_1) = R_3 X_D \vec{z}$$

Le moment du poids en O_3 est négligeable.

Calcul du torseur dynamique :

Résultante dynamique

$$\overrightarrow{\Gamma}(G_3, 3/I) = \frac{d(\overrightarrow{V}(G_3, 3/I))}{dt / B_1} = a\alpha'_3 \frac{d(\bar{x}_3)}{dt / B_1} = a\alpha'_3 (\alpha'_3 \bar{z} \Lambda \bar{x}_3) = a\alpha'^2_3 \bar{y}_3$$

$$\overrightarrow{R}_d(G_3, 3/I) = m_3 \overrightarrow{\Gamma}(G_3, 3/I) = m_3 a \alpha'^2_3 \bar{y}_3$$

$$\overrightarrow{R}_d(G_3, 3/I) = m_3 a \alpha'^2_3 \bar{y}_3$$

Moment dynamique en O_3 :

$$\overrightarrow{\sigma}(G_3, 3/I) = \begin{pmatrix} / & / & / \\ / & / & / \\ / & / & I_{G_3z} \end{pmatrix} \begin{pmatrix} / \\ / \\ \alpha'_3 \end{pmatrix} = \begin{pmatrix} / \\ / \\ \alpha'_3 I_{G_3z} \end{pmatrix} \text{ avec } \alpha'_3 = \text{Cste}$$

$$\overrightarrow{\delta}(G_3, 3/I) \cdot \bar{z} = \frac{d(\overrightarrow{\sigma}(G_3, 3/I))}{dt / B_1} \cdot \bar{z} = \frac{d(\overrightarrow{\sigma}(G_3, 3/I) \cdot \bar{z})}{dt} - \overrightarrow{\sigma}(G_3, 3/I) \cdot \frac{d(\bar{z})}{dt / B_1} \cdot \bar{z} = \frac{d(\alpha'_3 I_{G_3z})}{dt} = 0$$

$$\overrightarrow{\delta}(O_3, 3/I) \cdot \bar{z} = [O_3 G_3 \Lambda m_3 \overrightarrow{\Gamma}(G_3, 3/I)] \cdot \bar{z} = [-a\bar{y}_3 \Lambda m_3 a \alpha'^2_3 \bar{y}_3] \cdot \bar{z} = 0$$

$$\overrightarrow{\delta}(O_3, 3/I) \cdot \bar{z} = 0$$

↳ **P.F.D.**

Théorème du moment dynamique sur \bar{z} : $r_3 Y_A \sin \alpha_3 + R_3 X_D = 0$

$$\Rightarrow X_D = \frac{-r_3 Y_A \sin \alpha_3}{R_3} = \frac{-r_3 \sin \alpha_3 (-Y_E + m_4 g - m_4 \alpha'^2_3 r_3 \cos \alpha_3)}{R_3}$$

↳ **Application numérique** en négligeant le poids $m_4 g$:

$$X_D = \frac{r_3 \sin \alpha_3 (Y_E + m_4 \alpha'^2_3 r_3 \cos \alpha_3)}{R_3} = \frac{8.6(Y_E \sin \alpha_3 + 0,049 \cdot 314^2 \cdot 8,610^{-3} \frac{\sin 2\alpha_3}{2})}{20.58}$$

$$X_D = 0,42 (Y_E \sin \alpha_3 + 20,77 \sin 2\alpha_3) = 0,42 Y_E \sin \alpha_3 + 8,7 \sin 2\alpha_3$$

Cas de la descente : $Y_E = 5N$

$$X_D = 2,1 \sin \alpha_3 + 8,7 \sin 2\alpha_3$$

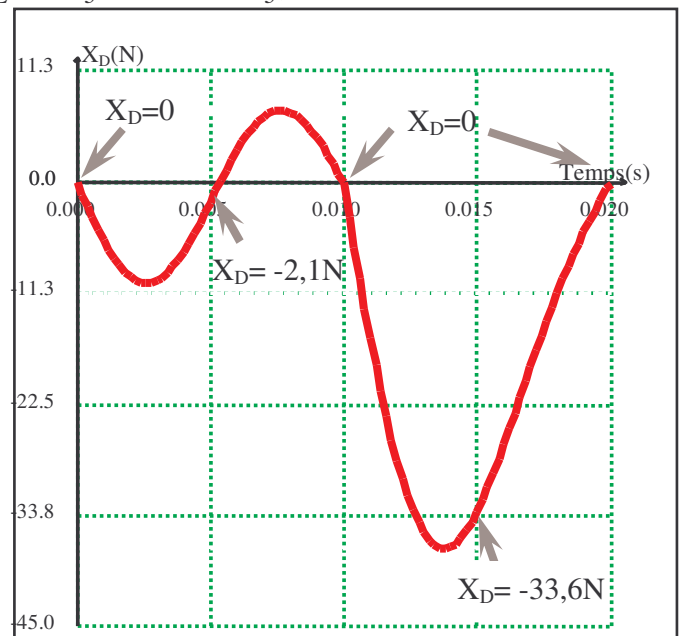
t	0		10 ms
α_3	0	$-\pi/2$	$-\pi$
X_D	0N	-2,1N	0N

Cas de la montée : $Y_E = -80N$

$$X_D = -33,6 \sin \alpha_3 + 8,7 \sin 2\alpha_3$$

t	0		20 ms
α_3	$-\pi$	$-3\pi/2$	-2π
X_D	0N	-33,6N	0N

Conforme au relevé Mécaplan ci-contre



On note que si Y_E est faible, c'est la fonction $X_D = 8,7 \sin 2\alpha_3$ qui l'emporte.

(Pour $\alpha_3 = -\pi/4$ on est aux environs de -9 N)

III-3 On isole le pignon (2).

Bilan des a.m. extérieures

Une liaison pivot motorisée $\{1 \rightarrow 2\} = \left\{ \begin{array}{l} X_{O_2} \\ Y_{O_2} \\ / \\ Cm \end{array} \right\}_{O_2, B_1}$

L'action de contact entre les roues dentées $\{3 \rightarrow 2\} = \left\{ \begin{array}{l} -X_D \\ -Y_D \\ / \\ 0 \end{array} \right\}_{D, B_1}$

Le $\{Poids \rightarrow 2\} = \left\{ \begin{array}{l} 0 \\ -m_2 g \\ / \\ 0 \end{array} \right\}_{G_2, B_1}$

Moments des actions extérieures en O_2

$$\overrightarrow{M_{O_2, 3 \rightarrow 2}} = \overrightarrow{O_2 D} \wedge \overrightarrow{R_{3 \rightarrow 2}} = R_2 \vec{y}_1 \wedge (-X_D \vec{x}_1 - Y_D \vec{y}_1) = R_2 X_D \vec{z}$$

Moment dynamique en O_2 :

$$\overrightarrow{\sigma_{(O_2, 2/I)}} = \begin{pmatrix} / & / & / \\ / & / & / \\ / & / & I_{G_2 z} \end{pmatrix} \begin{pmatrix} / \\ / \\ \alpha'_2 \end{pmatrix} = \begin{pmatrix} / \\ / \\ \alpha'_2 I_{G_2 z} \end{pmatrix}_{B_1} \quad \text{avec } \alpha'_2 = Cste$$

$$\overrightarrow{\delta_{(O_2, 2/I)}} \cdot \vec{z} = \frac{d(\alpha'_2 I_{G_2 z})}{dt} = 0$$

$$\overrightarrow{\delta_{(O_2, 2/I)}} \cdot \vec{z} = 0$$

P.F.D.

Théorème du moment dynamique sur \vec{z} :

$$Cm + R_2 X_D = 0 \Rightarrow Cm = -R_2 X_D$$

$$Cm = \frac{R_2 r_3 \sin \alpha_3 (-Y_E + m_4 g - m_4 \alpha_3'^2 r_3 \cos \alpha_3)}{R_3}$$

Application numérique avec le poids $m_4 g$ négligé et $R_2 = 2,42 \cdot 10^{-3} m$

Cas de la descente : $Y_E = 5N$

$$X_D = -5,1 \cdot 10^{-3} \sin \alpha_3 - 21,1 \sin 2\alpha_3$$

α_3	0	$-\pi/2$	$-\pi$
X_D	0N	$5,1 \cdot 10^{-3} Nm$	0N

Cas de la montée : $Y_E = -80N$

$$X_D = 81,3 \cdot 10^{-3} \sin \alpha_3 - 21,1 \sin 2\alpha_3$$

α_3	$-\pi$	$-3\pi/2$	-2π
X_D	0N	$81,3 \cdot 10^{-3} Nm$	0N

